

## مطالعه کانه‌زایی با استفاده از شواهد دگرسانی گرمابی و مطالعات میانبارهای سیال در کانسنگ‌های آهن قطروویه، شمال شرق نیریز، زون سنندج-سیرجان

محمدعلی رجبزاده\* و سینا اسدی

بخش علوم زمین، دانشکده علوم، دانشگاه شیراز، شیراز، ایران

### چکیده

مطالعات صحرایی، کانی‌شناسی و زمین‌شیمیایی در منطقه قطروویه، نشان‌دهنده دو مرحله جداگانه دگرسانی گرمابی همراه کانه‌زایی آهن با برتری کانی مگنتیت است. حضور بافت‌های جانشینی گسترشده در سنگ‌های واکنش‌پذیر کربناته دگرگون شده به عنوان میزبان کانسنگ‌ها، مرز تدریجی بین کانسنگ آهن و سنگ میزبان، شواهد دگرسانی Na-Ca و توالی پاراژنزی پاراگونیت + سیدریت + تیتانیت + تورمالین ± ترمولیت ± پیریت ± کالکوپیریت همراه با مگنتیت، نشان می‌دهند که بخشی از فرآیند کانه‌زایی عمقی به صورت دیرزاد و در امتداد مرز لایه‌بندی، همزمان با دگرسانی و بر اثر عملکرد سیال گرمابی اسیدی با شوری بالا صورت گرفته است. بخش دوم کانه‌زایی آهن با دگرسانی سریسیت-پروپلیتی مشخص و با بافت و ساخت رگه‌ای-رگچه‌ای، جانشینی هماتیت به جای مگنتیت و توالی پاراژنزی سریسیت + کوارتز + اپیدوت + کلریت ± مگنتیت همراه بوده است. مطالعه عناصر گروه REE سنگ میزبان نشان‌دهنده حمل آنها همراه با عناصر گروه LILE طی دگرسانی و بر عکس، غنی‌شدگی عناصر گروه HFSE است. مطالعه میانبارهای سیال در کوارتزهای کانسنگ مگنتیت نشان می‌دهند که این دسته از کانسنگ‌ها از سیالات گرمابی سرشار از  $\text{NaCl}-\text{MgCl}_2-\text{CaCl}_2-\text{H}_2\text{O}-\text{CO}_2$  با درجه حرارت بین ۱۸۰ تا ۴۳۵ درجه سانتی‌گراد و با شوری ۳/۵ تا ۳/۱۵ درصد وزنی معادل NaCl در فشارهای کمتر از ۲۸۰ بار تشکیل شده‌اند.

**واژه‌های کلیدی:** کانه‌زایی، آهن، گرمابی، میانبار سیال، قطروویه

### مقدمه

از اواخر پالئوزوئیک بالایی تا تریاس میانی زون سنندج-سیرجان با پدیده کافت‌شدگی و نهشت کربنات‌ها، گذاره‌های بالشی و برش‌های همزمان با رسوب گذاری مواجه شده که نشان‌دهنده رژیم تکتونیکی کششی و جدایش بلوك ایران مرکزی از گندوانا و گسترش بستر اقیانوس نئوتیس است (Berberian and King, 1981;

بر اساس پیشینه زمین دینامیکی زون سنندج-سیرجان (Alavi, 2007) در زمان نئوپروتزوژئیک تا دونین یک حوضه سکویی حاشیه قاره‌ای و کششی بوده که با رخداد نازک‌شدگی پوسته در پالئوزوئیک پایینی همراه بوده است (Rachidnejad-Omrani et al., 2002).

\*rajabzad@geology.susc.ac.ir

از مطالعات صحرایی کانی‌شناسی و زمین‌شیمیایی  
صورت گرفته است

### زمین‌شناسی منطقه قطروویه

زون برشی دگرگونی سنندج-سیرجان، بخشی از  
کمربند چین‌خوردگی-روراندگی زاگرس در ایران  
(Alavi, 2007; Sarkarnejad *et al.*, 2008). رخنمون‌های محدودی از سنگ‌های الترامافیک  
سرپانتینی، گابرو و مرمر به عنوان قدیمی‌ترین مجموعه  
سنگی منطقه با سن پروتوروزئیک پیشین-پالئوزوئیک  
پیشین در منطقه قطروویه مشاهده می‌شوند.

بهترین رخنمون این مجموعه در منطقه چاه پازن  
به صورت نوار به پهنای ۶۰۰ تا ۷۰۰ متر و در طول ۵  
کیلومتر مشاهده می‌گردد. از دیدگاه سبزه‌یی (منتشر  
نشده)، این واحد سنگی کهنه‌ترین مجموعه سنگی زون  
سنندج-سیرجان است که از تفیریق مagmaهایی با گرایش  
کوماتیئیتی به وجود آمده‌اند. واحدهای سنگی  
پالئوزوئیک پیشین، شامل تنابی از مرمرهای کلسیتی،  
میکا شیست، کوارتزیت، شیست سبز، آمفیبولیت،  
گنیس، شیست سیاه و چرت‌های سیاه است. وجود  
فسیل آکریتارک و آثار زیستوران کامبرین بالایی، نشانه  
سن این واحد در این برهه زمانی است. از نظر سنی این  
واحد معادل سازند میلا بوده و در سطح ورقه قطروویه  
برتری مطلق دارد (Eshraghi *et al.*, 1999).

بر اساس بررسی‌های صحرایی، مرمرهای کلسیتی-  
دولومیتی و شیستهای سبز پالئوزوئیک پیشین، میزان  
اصلی اندیس‌های آهن معرفی می‌گردند (شکل ۱).  
شیستهای سبز با بلورهای ریز تا درشت مگنتیت (از  
زیر ۱ میلیمتر تا ۵ میلیمتر) بر روی مرمرهای کلسیتی-

Sheikholeslami, 2002) رژیم تکتونیکی منطقه و با شروع فرورانش دست کم دو مرحله دگرگونی همزمان با فرورانش و ایجاد کمربندهای مزدوج و دگرگونی کوهزایی ناشی از برخورد دو قاره در منطقه اتفاق افتاده است که به صورت گسترش رخساره سنگ‌های دگرگونی فشار بالادما پایین (کیانیت شیست) در نزدیکی راندگی اصلی زاگرس و تغییر محیط فشارشی به کششی به سمت کمربند ارومیه-دختر و گسترش رخساره‌های دگرگونی دما بالا-فشار پایین با تزریق باتولیت بزرگ گرانیت-گنیس چاه دزدان مشخص می‌گردد (Sarkarnejad *et al.*, 2008).

اندیس‌های آهن قطروویه در لبه شرقی این زون و در ۴۰ کیلومتری شمال شرقی شهرستان نیریز و در محدوده استان‌های فارس و کرمان، در طول‌های جغرافیایی  $50^{\circ} - 54^{\circ}$  شرقی و عرض‌های جغرافیایی  $20^{\circ} - 29^{\circ}$  شمالی واقع شده‌اند.

مهم‌ترین راه دسترسی به منطقه مورد مطالعه مسیر جاده اصلی نیریز-قطروویه-سیرجان است. منطقه نیریز از دیدگاه ساختاری در دو زون متفاوت فرار می‌گیرد. بخش‌های غربی و جنوب غربی در زون زاگرس خرد شده (بخش مشکان) و بخش‌های شمالی و شمال شرقی که عمدتاً در زون سنندج-سیرجان (بخش پشت‌کوه) قرار دارند.

تمامی اندیس‌های آهن قطروویه در بخش پشتکوه متمرکز شده‌اند. ذخایر احتمالی هر کدام از این اندیس‌ها بین ۵۰ تا ۱۵۰۰ تن برآورد می‌گردد. این تحقیق، در محدوده قطروویه به منظور دستیابی به الگوی ایجاد مجموعه‌های دگرسانی، همراه با کانه‌زایی آهن و تحرک یا عدم تحرک عناصر مختلف در سنگ میزان با استفاده

چهار گروه کانی‌های اکسیدی، سیلیکاتی، سولفیدی و کربناتی به‌شرح ذیل تشخیص داده شدند:

**(۱) گروه اکسیدی:** مگنتیت به‌صورت‌های لایه‌ای، توده‌ای و افshan، کانی اصلی گروه اکسیدی بوده که بر اثر اکسایش به مارتیت، مگهمیت، اسپکیولاریت، گوئتیت و لیمونیت تبدیل شده است (شکل ۳-الف تا ۳-ج). برونو رست ایلمنیت به‌صورت تیغه‌های صورتی رنگ از داخل مگنتیت‌ها (شکل ۳-د) نشان‌دهنده غنی‌بودن مگنتیت از تیتانیم است.

بافت‌های جانشینی در سنگ میزبان، مهم‌ترین گروه بافت‌های مشاهده شده کانی‌های گروه اکسیدی به‌ویژه مگنتیت هستند. این بافت‌ها به‌صورت مرزهای شکستگی غیرقابل جورشدن (شکل ۴-الف)، پهن‌شدگی رگه‌ها (شکل ۴-ب)، رشد تداخلی نامنظم (شکل ۴-ج)، جزایر جانشین‌نشده مقاوم (شکل ۴-د)، بافت خوردگی (شکل ۴-ه) و جانشینی در سطوح رخ‌ها (شکل ۴-و) در مقاطع میکروسکوپی مشاهده گردیدند.

**(۲) گروه سیلیکاتی:** تورمالین (شورل - دراویت) (شکل ۵-الف)، اکتینولیت (شکل ۵-ب) و تیتانیت، مهم‌ترین سیلیکات‌های همراه با مگنتیت هستند. اپیدوت، کلریت (شکل ۵-ج)، موسکوویت، تالک و کوارتز از دیگر سیلیکات‌های فراوان همراه با همایتیت هستند.

همچنین میکائی سدیم‌دار (پاراگونیت) که با موسکوویت هم‌ساختمان است، با روش پراش پرتو ایکس شناسایی گردید.

**(۳) گروه کربناتی:** سیدریت و مالاکیت (با بافت گل‌کلمی) مهم‌ترین کانی‌های این گروه بوده که در بخش‌های سطحی همراه با مارتیت و گوئتیت مشاهده می‌شوند.

دولومیتی رورانده شده‌اند. مرمرهای این واحد تماماً دارای بافت گرانوبلاستیک هستند. واحدهای سنگی پالئوزوئیک پسین عموماً از مرمرهای دولومیتی-کلسیتی، کالک‌شیست، میکا شیست، شیست سبز، گنیس، اسلیت و فیلیت تیره‌رنگ تشکیل شده‌اند. اسلیت‌ها و فیلیت‌های این واحد بسیار تیره رنگ بوده که بیانگر وفور مواد آلی در آنها است.

واحدهای سنگی تریاس میانی-پسین، پس از پشت سر گذاشتن یک دوره وقفه چینه‌شناختی به‌صورت دگرشیب بر روی واحدهای قبلی قرار گرفته‌اند. این واحدهای سنگی عمدتاً از گدازه‌های بالشی و شیشه‌های بازالتی تشکیل شده‌اند. وجود گدازه‌های بالشی در ورقه قطروویه نشان‌دهنده ماقم‌اتیسم در یک محیط عمیق دریابی است.

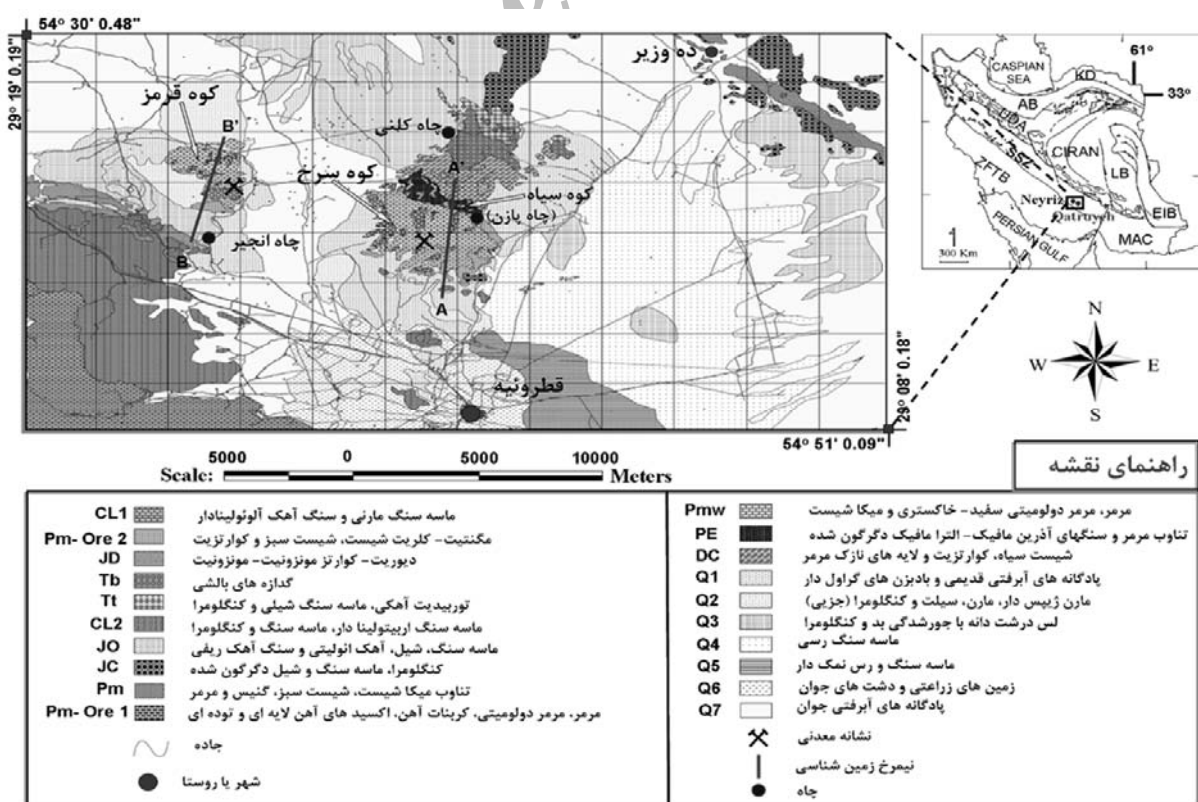
از ژوراسیک تا کرتاسه ۲۵۰۰ متر رسوبات فلیش‌گونه، شامل: کنگلومرا، شیست و فیلیت منطقه را پوشانیده‌اند. وجود قلوه‌های مگنتیت در کنگلومراهای ژوراسیک بیانگر رخداد بخشی از کانه‌زایی آهن پیش از این زمان است. همه واحدهای نامبرده در طول سنوزوئیک به‌وسیله کنگلومراهای درشت‌دانه سخت‌نشده تا ریز‌دانه، مارن‌ها، سیلت‌ها و مارن‌های گچ‌دار و پادگانه‌های آبرفتی جدید و قدیم پوشیده شده‌اند (شکل ۲).

## روش انجام پژوهش

**(الف)** کانی شناسی کانسنگ آهن و سنگ میزبان به منظور بررسی کانی شناسی کانسنگ آهن و سنگ میزبان آن ۴۵ مقطع صیقلی، ۱۵ مقطع نازک و ۲۷ مقطع نازک صیقلی از نمونه‌های شاخص تهیه و به روش میکروسکوپی و تعداد ۱۰ نمونه نیز به‌روش اشعه ایکس انکساری مطالعه شدند. براساس این مطالعات،



شکل ۱- ستون چینه‌شناسی منطقه قطرویبه.



شکل ۲- نقشه زمین‌شناسی منطقه قطرویبه.

در پوسته زیرین بدون رخنمون سطحی تغذیه گردند (Guilbert and Park, 1997)

همچنین بر اساس مطالعات صورت گرفته در محیط‌هایی که تحت تأثیر فرآیندهای دگرگونی قرار گرفته‌اند، سیالات غیرماگمایی ناشی از پدیده دگرگونی نیز می‌توانند سبب کانه‌زایی آهن از عمق تا سطح گردند (Williams *et al.*, 2005). کانه‌زایی در عمق با ظهور مگنتیت ± پیریت ± کالکوپیریت ± هماتیت و معمولاً با برتری دگرسانی سدیمی همراه است که بر اساس نوع سنگ میزبان، کانی‌های دگرسانی متفاوت خواهند بود (Hitzman *et al.*, 1992).

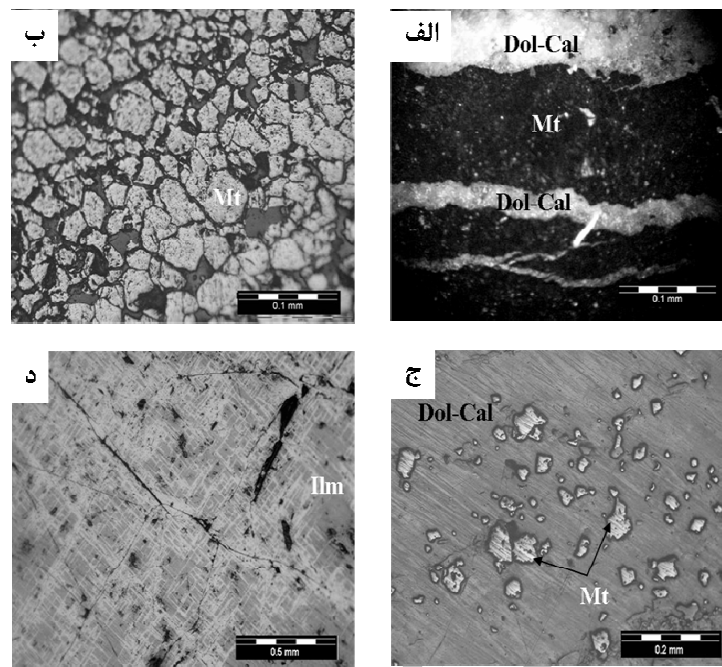
در سنگ‌های میزبان فلزیک تا حد واسط ظهور کانی‌هایی، مثل: آلبیت، اسکاپولیت، پیروکسن‌های سدیمی و آمفیبولهای سدیمی، نشانه این نوع از دگرسانی است. در منطقه قطروویه نیز بر اساس شواهد ساختاری گسترده و رژیم‌های تکتونیکی متفاوت معرفی شده توسط (Sarkarinejad *et al.* 2008) سنگ میزبان و کانسنگ آهن چندین بار تحت تأثیر دگرگونی واقع شده‌اند. بنابراین، تشخیص نوع دگرسانی با مشکل همراه است.

نتایج پراش پرتو ایکس و مطالعات میکروسکوپی گسترده در این تحقیق نشان می‌دهند که کانه‌زایی مگنتیت با دگرسانی سدیمی-کلسیمی همراه بوده است. همچنین، تأثیر دو مرحله متفاوت دگرسانی همراه با کانه‌زایی آهن در منطقه قابل تفکیک بوده و چنین نتایجی در مناطق دیگری که تحت تأثیر پدیده دگرگونی ناحیه‌ای واقع می‌شوند نیز قبلًا گزارش گردیده‌اند (Hitzman, 2000).

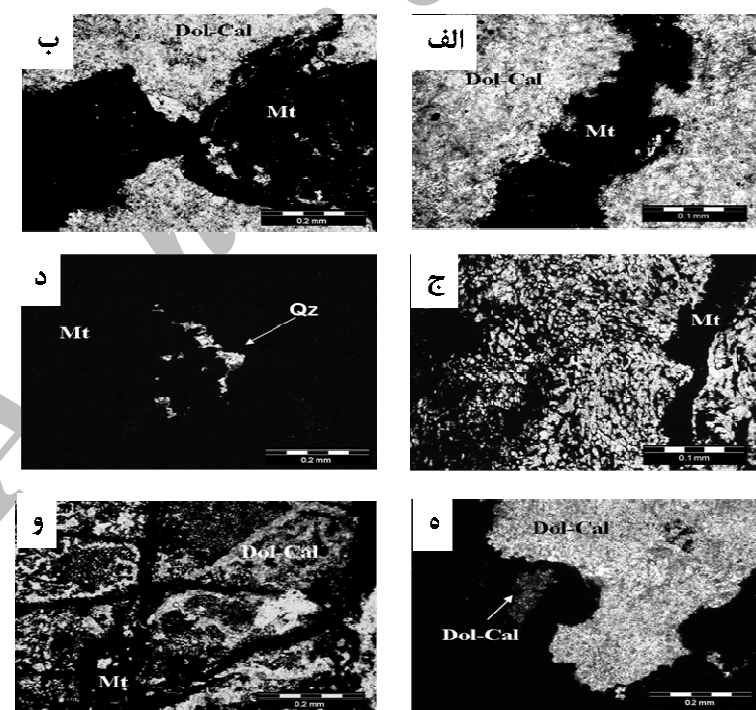
(۴) گروه سولفیدی: کانی‌های سولفیدی به‌طور جزیی همراه با مگنتیت و بیشتر به‌صورت ثانویه جانشین آنها شده‌اند. پیریت عمده‌ترین کانی سولفیدی است که جزایری از مگنتیت را در خود جای داده و با کالکوپیریت به‌مقدار جزیی همراه است (شکل ۵-۵).

**ب) دگرسانی و کانه‌زایی آهن**  
کانه‌زایی آهن به‌صورت عدسی، توده‌ای تا لایه‌ای در مرز لایه‌بندی سنگ میزبان کربناته و با تبعیت از مسیر شکستگی‌ها و گسل‌های منطقه انجام شده است. این کانه‌زایی با نهشته‌شدن مگنتیت در عمق همراه با دگرسانی سدیمی-کلسیمی و با تشکیل هماتیت در سطوح کم‌عمق همراه با دگرسانی سریسیتی-سیلیسی است. با توجه به این که کانسنسنگ آهن در مرمرهای کلسیتی-دولومیتی نسبت به شیسته‌های سبز بیشتر جایگزین شده‌اند، نهشت آهن فرآیندهای شیمیایی کنترل شده است. همچنین، عدم حضور کانی‌های اسکارن پیش از نهشت کانسنسنگ و اینکه تمامی اندیس‌های معدنی دارای تناظر پایین و عیار بالا هستند، نشان دهنده منشأ دیرزad کانه‌زایی آهن در منطقه قطروویه هستند. در تمامی نقاط جهان اهمیت اقتصادی این کانسارها به عنوان منابع جهانی آهن، بمراتب بسیار کم‌تر از سازندهای نواری آهن است.

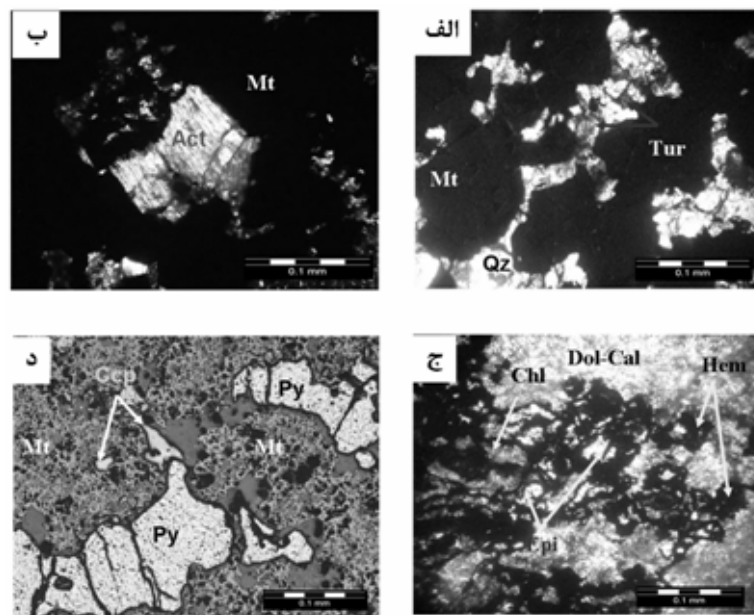
آهن می‌تواند توسط سیالات گرمابی از کانی‌های حاوی آهن شسته و سپس در محیط‌های مناسب نهشتگردد. این دسته از کانسارها می‌توانند مستقیماً با یک توده نفوذی در ارتباط باشند و یا از یک منبع ماگمایی



شکل ۳- انواع بافت‌های کانسنگ‌های مگنتیت. (الف) مگنتیت Mt با بافت نواری (لایه‌ای) در بین دولومیت-کلسیت Dol-Cal، (ب) مگنتیت تودهای با بافت گرانولار (دانه‌ای)، (ج) مگنتیت با بافت پراکنده (افشان) و (د) بافت بروون‌رستی تیغه‌های ایلیمنیت Ilm در مگنتیت تودهای.



شکل ۴- بافت‌های جانشینی در سنگ میزبان. (الف) مرزهای شکستگی غیرقابل جوشدن (نامتران)، (ب) پهن شدن رگه‌ها در محل شکستگی‌ها، (ج) رشد تداخلی نامنظم و کرم‌مانند، (د) جزیره‌های جانشین نشده مقاوم کوارتز Qz در زمینه مگنتیت، (ه) سطوح مقعر در داخل سنگ میزبان (بافت خورده‌گی) و جزایر بازماندی دولومیت-کلسیت، (و) جانشینی در امتداد سطوح رخ‌های رومبوئدری دولومیت-کلسیت.



شکل ۵- سیلیکات‌ها و سولفیدهای همراه با اکسیدهای آهن. الف) پاراژن مگنتیت-کوارتز-تورمالین(Tur)، ب) کانه‌زایی مگنتیت همراه با اکتینولی؛ ج) کلریت (Chl)-اپیدوت(Epi) همراه با کانه‌زایی هماتیت، د) فازهای تأخیری پیریت-کالکوپیریت در مگنتیت.

است، گزارش شده است (Marschall *et al.*, 2006). کانی ترمولیت نیز به عنوان یک کانی سیلیکاتی همراه با مگنتیت و به صورت بلورهای رشته‌ای در نمونه‌ها دیده می‌شود. همچنین، کانی‌های سولفیدی به مقدار جزیی همراه با مگنتیت در بعضی از نمونه‌ها مشاهده می‌گردد. مشاهدات بافتی در زیر میکروسکوپ نشان می‌دهند که کانی‌های سیلیکاتی نظیر تیتانیت، تورمالین و ترمولیت پس از کانه‌زایی مگنتیت تشکیل شده‌اند. به نظر می‌رسد که سیالات سازنده مگنتیت پس از تفکیک اولیه سبب کانی‌سازی سیلیکاتی شده‌اند. از نظر Lottermoser (۱۹۹۲) این شرایط در سیستم‌هایی به وجود می‌آید که نسبت واکنش‌پذیری سیال به سنگ بسیار پایین، شرایط کاهشی حاکم و همچنین لیگاندهای کلریدی در سیال گرمابی فراوان باشند. در این شرایط عناصر کمیاب خاکی (REE‌ها) در سنگ میزبان بسیار پویا شده، در پیامد آن دگرسانی سدیمی-پتاسیمی ایجاد می‌شود

مرحله نخست دگرسانی با دگرسانی نوع Na-Ca و توالی پاراژنی مگنتیت + پاراگونیت + سیدریت + تیتانیت + تورمالین ± ترمولیت + اکتینولیت ± پیریت ± کالکوپیریت همراه است. کانی پاراگونیت از نظر Rusinov و همکاران (۲۰۰۸) در مناطقی که تحت تأثیر دگرگونی ناحیه‌ای و دگرسانی سیالات مرتبط واقع شده‌اند، ایجاد می‌شود. سیدریت فقط همراه با مگنتیت در متاکربنات‌های دگرسان شده مشاهده می‌گردد و در نمونه‌های مشابه دگرسان نشده دیده نمی‌شود. همراهی سیدریت با مگنتیت نشانه رخساره‌های بالاتر از شیست سبز و در حد آمفیبولیت است.

در نمونه‌های منطقه قطروویه، تورمالین به عنوان یک کانی دگرسانی به صورت تیغه‌ای تا شعاعی، با رنگ قهوه‌ای و هم‌رشدی با کوارتز دیده می‌شود. تورمالین به عنوان یک کانی دگرسانی در مناطق فرورانش و در رژیم‌های ترافشارشی دگرگونی تحت تأثیر ذوب صفحه فرورنده که با ایجاد سیالات سرشار از عنصر B همراه

تکرار پدیده میلیونیتی شدن سبب باز و بسته شدن سیستم‌های شکستگی می‌گردد و در نتیجه، مسیرهای لازم برای چرخش سیالات گرمابی فراهم می‌آید (Chao *et al.*, 1992; Chao *et al.*, 1997).

سیالات با منشاً پوسته فرورونده اقیانوسی، ضمن عبور از سطوح عمیق پوسته و واحدهای مافیک-الترامافیک موجب آب‌شویی آهن و غنی‌شدن از این عنصر شده، سپس در مسیر بازگشت صعودی در تماس با سنگ‌های کربناته واکنش پذیر، آهن خود را به صورت ترکیبات اکسیدی بر جای می‌گذارند (Hemley and Hunt, 1992). کانسنگ‌های آهن قطروویه محصول این فرآیند هستند. توالی پاراژنزی در منطقه مورد مطالعه بر اساس داده‌های کانی شناختی مجموعه کانسنگ و حاله‌های دگرسانی مرتبط در شکل ۶ آورده شده است.



شکل ۶- توالی پاراژنزی منطقه قطروویه.

### زمین‌شیمی سنگ میزبان

در این گونه مطالعات، نمودارهای غنی‌شدگی-تهی‌شدگی عناصر به منزله روشی برای نمایش تحرک عناصر در زون‌های دگرسانی همراه با کانه‌زایی گرمابی استفاده شده است (Rollinson, 1993). بر این اساس تحرک عناصر در سنگ‌های دگرسان شده و

(Cathelineau, 1987; Schneider *et al.*, 1988; Lottermoser, 1992)

با پیش روی سیالات گرمابی به سطوح کم عمق تر پوسته و اختلاط آنها با آبهای جوی و افزایش نسبت واکنش‌پذیری سیال به سنگ، کاهش درجه حرارت، افزایش pH و کاهش تحرک عناصر گروه REE‌ها در سیال صورت می‌گیرد و در این موقعیت، با افزایش میزان اکسیداسیون محیط و افزایش pH سیال، شرایط تشکیل هماتیت فراهم می‌گردد و در نتیجه، مرحله دوم کانه‌زایی که با دگرسانی سریسیتی-پروپلیتی مشخص می‌شود با کانه‌زایی گسترده هماتیت همراه است. در این نوع دگرسانی سیلیسی-شدن، کلریتی-شدن، سریسیتی-شدن و اپیدوتی-شدن بسیار گسترده بوده، توالی پاراژنزی، شامل: مجموعه هماتیت+سریسیت+کوارتز+اپیدوت+کلریت±مگنتیت می‌شود.

از نظر Hitzman (۲۰۰۰) این گروه از انواع کانه‌زایی‌های آهن وابسته به مناطق کششی در طول یک حاشیه قاره‌ای مرتبط با فروزانش بوده، دگرسانی‌های وابسته به کانه‌زایی مگنتیت از عمق با دگرسانی سدیمی یا سدیمی-کلسیمی شروع و به مت بالا به مجموعه دگرسانی‌های پتاسیمی-سریسیتی-سیلیسی همراه با کانه‌زایی هماتیت بر اساس درجه برخورد یا واکنش با آبهای جوی یا تغییرات سیال در زمان صعود ختم می‌گردد.

با توجه به این که منطقه مورد مطالعه در حاشیه یک زون فروزانش قرار گرفته است، رخداد این نوع کانه‌زایی به همراه دگرسانی‌های مرتبط، به احتمال زیاد بر اثر گرمای زیاد حاصل از پدیده فروزانش که با تغییر شکل‌های فشارشی و میلیونیتی شدن همراه است، در طول حواشی قاره‌ای ایجاد شده است. این وضعیت در بازدیدهای صحراوی در منطقه قطروویه مشاهده می‌شود.

ALS-Chemex کانادا انجام شد. نتایج شیمیایی در جدول ۱ ارائه شده‌اند که نشان‌دهندهٔ فقیرشدنی سنگ میزبان نزدیک به توده معدنی از عناصر سنگ‌دوست با یون بزرگ LILE نظری عناصر Pb و Sr و در مقابل Cu، Ni، Cr، Co، Zn غنی‌شدگی از عناصر واسطه نظری در ضمن دگرسانی است.

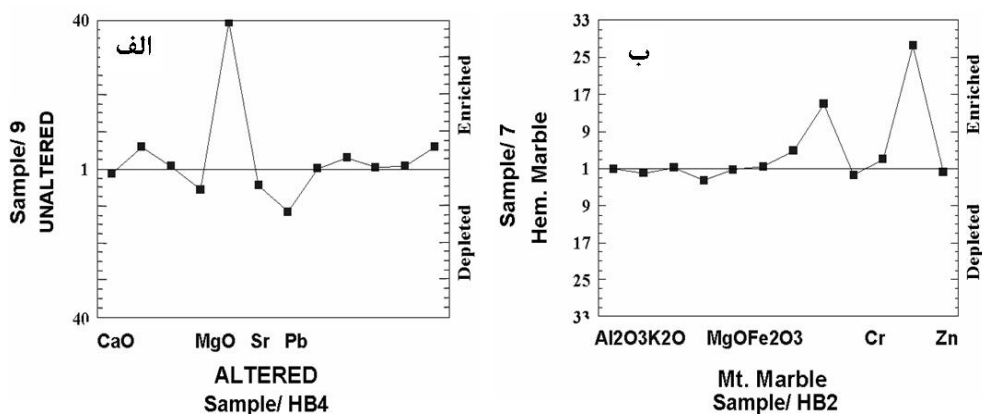
دگرسان نشده میزبان در منطقهٔ قطروییه مطالعه و ارزیابی شده‌اند. تجزیه عناصر اصلی و فرعی در نمونه‌های سنگ میزبان به روش طیفسنجی جذب‌اتمی (AAS) در بخش علوم زمین دانشگاه شیراز و تجزیه عناصر کمیاب خاکی به روش طیفسنجی جرمی پلاسمای جفت‌شده القایی (ICP-MS) در آزمایشگاه

جدول ۱- نتایج تجزیه شیمیایی سنگ میزبان کربناته دگرگون شده قطروییه (نمونه‌های FM1 تا FM5) و نمونه‌های AM1 تا AM11: سنگ میزبان دگرسان شده، عناصر اصلی بر اساس درصد وزنی (%) و عناصر جزئی بر اساس گرم در تن (ppm) اندازه‌گیری شده‌اند. n.d. مقدار کمتر از حد تشخیص دستگاه هستند.

Field NO.	SiO <sub>2</sub>	TiO <sub>2</sub>	Al <sub>2</sub> O <sub>3</sub>	Fe <sub>2</sub> O <sub>3</sub>	MnO	MgO	CaO	Na <sub>2</sub> O	K <sub>2</sub> O	P <sub>2</sub> O <sub>5</sub>	L.O.I	Ba	Ce	Cr	Cs	Cu	Dy	Eu	Ga
FM 1	17.00	0.01	0.38	0.32	0.02	3.70	34.55	1.55	0.13	0.03	41.00	921.10	2.60	27.80	12.66	0.45	0.30	0.08	2.27
FM 2	19.00	0.01	0.40	0.29	0.14	3.40	38.00	2.20	0.14	0.04	35.00	823.40	n.d.	88.00	14.34	10.00	n.d.	n.d.	1.34
FM 3	14.00	0.01	0.30	0.32	0.09	3.80	37.00	1.30	0.13	0.02	42.00	762.51	n.d.	92.00	10.27	4.00	n.d.	n.d.	2.51
FM 4	20.00	0.01	0.50	0.43	0.07	5.40	32.00	2.10	0.16	0.02	38.00	973.55	n.d.	123.00	13.18	5.00	n.d.	n.d.	0.98
FM 5	24.50	0.01	0.44	1.23	0.08	4.23	39.40	1.44	0.12	0.01	29.00	812.10	2.59	7.50	10.00	3.75	0.20	0.06	0.80
AM 1	26.00	0.01	1.60	9.50	0.18	6.00	19.54	0.85	0.80	0.12	33.00	24.40	85.30	59.81	0.15	767.00	8.51	0.43	6.45
AM 2	22.00	0.01	1.70	15.50	0.97	1.40	25.00	2.30	0.70	0.13	29.00	33.21	n.d.	67.00	0.23	507.00	n.d.	n.d.	14.63
AM 3	31.00	0.01	1.90	10.00	0.23	2.00	17.54	0.70	0.90	0.12	35.00	25.67	n.d.	371.00	0.14	7.00	n.d.	n.d.	15.32
AM 4	27.00	0.05	2.64	14.00	0.31	1.67	16.67	0.83	1.10	0.14	35.00	54.50	n.d.	381.00	0.34	525.00	n.d.	n.d.	25.27
AM 5	15.00	0.01	0.48	33.26	1.25	0.83	18.25	2.50	0.05	0.13	30.00	16.46	203.72	44.64	0.07	739.60	2.55	0.32	13.65
AM 6	9.00	0.06	1.20	35.02	1.10	1.00	18.41	2.80	0.46	0.17	31.00	19.40	258.22	158.00	0.08	780.00	39.79	0.44	24.33
AM 7	19.00	0.06	0.53	8.92	0.10	17.27	13.00	2.50	0.13	0.19	38.00	25.21	n.d.	67.25	1.24	137.00	n.d.	n.d.	1.98
AM 8	16.00	0.02	0.90	12.60	0.21	1.70	23.80	3.00	0.50	0.14	41.00	44.82	n.d.	363.00	1.05	192.00	n.d.	n.d.	3.42
AM 9	18.50	0.03	1.75	14.65	0.45	1.84	21.24	1.43	0.42	0.12	38.00	53.14	4.90	50.00	3.70	267.55	0.53	0.13	1.20
AM 10	17.32	0.04	0.99	12.54	0.78	2.26	17.25	1.50	0.65	0.10	40.00	42.20	2.80	10.00	3.52	3.75	0.49	0.10	1.60
AM 11	14.65	0.01	0.87	19.35	0.29	1.92	26.65	0.73	0.13	39.00	723.62	4.20	7.50	5.75	1.76	0.33	0.13	1.00	
Field NO.	Hf	La	Lu	Nb	Nd	Ni	Pb	Pr	Rb	Sc	Sm	Sr	Ta	Th	U	Y	Yb	Zn	Zr
FM 1	0.15	1.24	n.d.	0.25	1.71	46.12	27.25	n.d.	0.61	1.34	0.24	950.21	0.03	0.70	0.08	2.12	0.10	56.00	1.35
FM 2	0.10	n.d.	n.d.	0.32	n.d.	17.00	105.00	n.d.	0.32	1.25	n.d.	444.00	0.01	0.52	0.09	1.84	n.d.	81.00	2.34
FM 3	1.43	n.d.	n.d.	0.29	n.d.	15.00	134.00	n.d.	0.55	0.99	n.d.	615.00	0.04	0.42	4.32	3.25	n.d.	25.00	0.86
FM 4	0.42	n.d.	n.d.	0.35	n.d.	19.00	231.00	n.d.	1.23	1.63	n.d.	126.00	0.10	0.79	0.98	1.94	n.d.	34.00	1.58
FM 5	0.15	1.70	0.03	0.40	1.00	3.75	6.00	0.32	2.90	0.74	0.29	763.00	0.07	0.28	0.17	1.40	0.10	14.00	2.00
AM 1	6.74	32.20	n.d.	0.75	12.56	57.76	40.92	n.d.	1.50	0.60	4.19	168.07	3.71	37.30	12.55	6.90	8.58	158.29	158.40
AM 2	16.53	n.d.	n.d.	15.56	n.d.	26.00	17.00	n.d.	11.34	2.56	n.d.	266.00	0.12	129.40	63.45	5.63	n.d.	168.00	227.40
AM 3	15.36	n.d.	n.d.	18.43	n.d.	22.00	11.00	n.d.	18.21	3.84	n.d.	118.00	1.43	192.50	98.45	8.28	n.d.	169.00	252.71
AM 4	17.27	n.d.	n.d.	11.34	n.d.	37.00	1.00	n.d.	0.98	n.d.	101.00	2.76	48.70	44.61	2.73	n.d.	144.00	121.52	
AM 5	8.71	35.18	n.d.	9.41	22.38	59.02	76.42	n.d.	0.60	2.00	7.47	170.00	13.31	147.35	51.32	4.76	8.33	180.86	396.37
AM 6	14.02	39.74	n.d.	18.42	25.36	109.08	150.80	n.d.	0.60	2.52	8.56	139.00	14.58	152.64	52.06	18.74	8.37	1266.51	490.00
AM 7	1.43	n.d.	n.d.	3.23	n.d.	49.00	87.00	n.d.	2.32	1.48	n.d.	61.00	2.51	6.67	3.67	1.32	n.d.	59.00	7.93
AM 8	2.78	n.d.	n.d.	2.65	n.d.	67.00	55.00	n.d.	4.54	2.53	n.d.	163.00	1.73	3.50	5.59	0.99	n.d.	103.00	19.47
AM 9	0.15	3.30	0.04	0.70	2.40	14.00	13.00	0.61	1.50	2.32	0.54	173.00	0.10	0.51	0.69	2.80	0.25	113.00	4.00
AM 10	0.15	2.10	0.03	0.30	1.30	3.75	14.00	0.35	3.10	1.65	0.30	267.91	0.08	0.35	2.51	3.60	0.17	135.00	5.00
AM 11	0.15	3.00	0.03	0.15	2.40	3.75	33.00	0.60	14.27	2.01	0.51	361.00	0.08	0.27	1.74	3.90	0.19	205.00	3.00

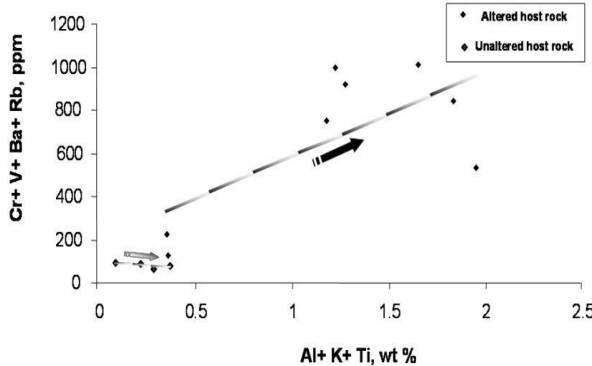
تفکیک نمونه‌های میزبان اطراف نوارهای مگنتیت و هماتیت مشخص می‌گردد که نمونه‌های برداشت شده از اطراف کانسنج‌های مگنتیت نسبت به کانسنج‌های هماتیت از  $\text{Na}_2\text{O}$ ،  $\text{Co}$ ،  $\text{Pb}$ ،  $\text{Cu}$ ،  $\text{Ni}$  و  $\text{MgO}$  غنی شده‌اند و در مقابله نمونه‌های برداشت شده از اطراف کانسنج هماتیت، نسبت به کانسنج مگنتیت از  $\text{K}_2\text{O}$ ،  $\text{Al}_2\text{O}_3$ ،  $\text{Cr}$ ،  $\text{MgO}$  و  $\text{Zn}$  غنی شده‌اند (شکل ۷-ب).

همچنین، عناصر Ca و Mg کاهش و عناصر قلیایی Fe و Na-K افزایش نشان می‌دهند (شکل ۷-الف). کاهش عناصر Ca و Mg نشان‌دهنده جانشینی Fe به جای این عناصر در ساختمان دولومیت و بالا بودن میزان عناصر قلیایی در سنگ میزبان نشان‌دهنده دخالت سیالات نسبتاً شور کانه‌زا در طی دگرسانی و ضمن فرآیند کانه‌زا است. همچنین، با مقایسه و



شکل ۷- نمودارهای مقایسه‌ای غنی‌شدگی - تهی‌شدگی در سنگ میزبان. (الف) تهی‌شدگی نسبی عناصر Ca و Mg و غنی‌شدگی عناصر قلیایی و Fe در دو نمونه از سنگ‌های دگرسان‌شده (Altered) نسبت به دگرسان‌نشده (Unaltered); (ب) غنی‌شدگی Unaltered و Ni, Co, Pb, Na<sub>2</sub>O در Cu در سنگ میزبان مگنتیت (Mt. Marble) نسبت به سنگ میزبان دربرگیرنده هماتیت (Hem. Marble).

می‌گردد (Zhiwei *et al.*, 2004). بررسی مقدار پویایی یا عدم پویایی این عناصر در سنگ میزبان کانسنگ‌های مختلف بهمیزان زیادی در جهت دست‌یابی به اطلاعاتی درباره فرآیندهای تشکیل کانسنگ‌ها استفاده شده است (Wood *et al.*, 1994; Zhiwei *et al.*, 2004).



شکل ۸- نمودار Al+K+Ti در مقابل Cr+V+Ba+Rb از نمونه‌های دگرسان‌شده و دگرسان‌نشده میزبان کانسنگ‌های آهن قطروئیه (بر اساس Rusinov *et al.*, 2008).

بر این اساس و با داده‌های حاصل از نتایج شیمیایی نمونه‌های منطقه مورد مطالعه به صورت انتخابی HFSE نمودارهای دوتایی Zr در مقابل عناصر گروه HFSE (V, Ni, Hf, Sc, Th, Ta) و نیز Zr در مقابل عناصر

غنی‌شدگی عناصر کالکوفیل Co, Ni و Cu در سنگ‌های دگرسان‌شده در اطراف مگنتیت‌ها نشان‌دهنده تهی‌نشست این عناصر در کانی‌های سولفیدی همراه با کانه‌زایی مگنتیت است.

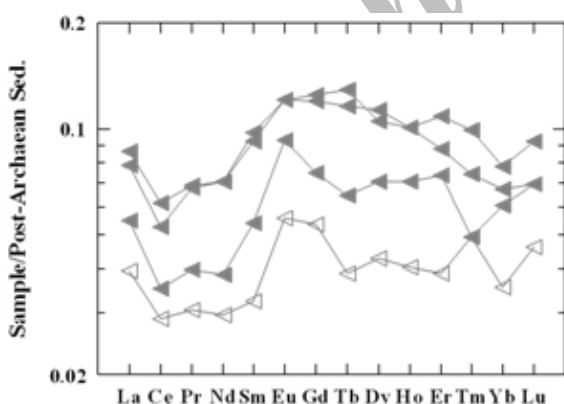
همچنین، افزایش میزان Na<sub>2</sub>O طبق شواهد دگرسانی سدیمی در سنگ میزبان مجاور با کانه‌زایی مگنتیت مطابقت دارد. افزایش محتوای K<sub>2</sub>O+Al<sub>2</sub>O<sub>3</sub> در سنگ‌های دگرسان‌شده در اطراف هماتیت‌ها با ظهور موسکوویت مشخص می‌شود که در نمونه‌های مورد مطالعه ثبت شده است. با افزایش محتوای K<sub>2</sub>O+Al<sub>2</sub>O<sub>3</sub>, میزان Ti, Cr, Ba, V, Rb نیز افزایش می‌یابد (شکل ۸).

از نظر Rusinov و همکاران (۲۰۰۸) عناصری مانند Ba, V, Cr و Rb در ساختمان فیلوسیلیکات‌های نظیر موسکوویت در نمونه‌های گرمابی تجمع می‌یابند. در نمونه‌های فاقد موسکوویت قطروئیه روند تغییرات عناصر کمیاب خاکی (REE‌ها) و عناصر جزیی با قدرت میدان بالا (HFSE) به‌طور کلی به عنوان عناصر غیرحساس در طی فرآیندهای دگرسانی محسوب

دگرگونی عناصر اصلی و عناصر گروه LILE را به راحتی جابه‌جا و در مراحل پیشرفته‌تر عناصر واسطه و عناصر گروه HFSE را جابه‌جا می‌کنند (Fan *et al.*, 2000; Zhiwei *et al.*, 2004)

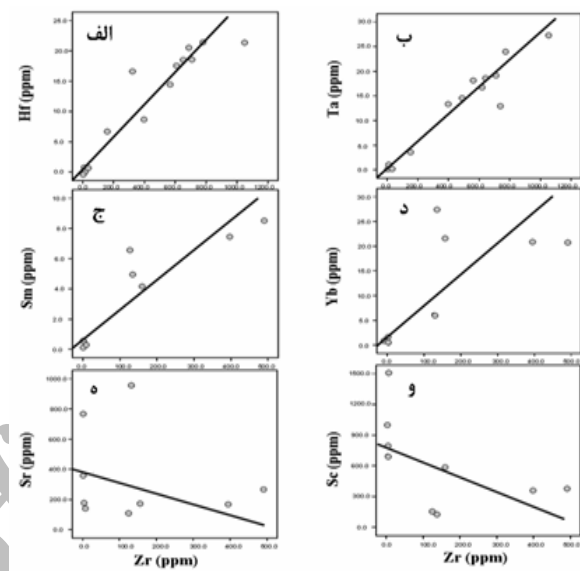
در منطقه مورد مطالعه نیز با توجه به ظهور دگرگونی تا مرحله رخساره شیست سبز، عناصر اصلی، عناصر گروه LILE و بخشی از عناصر گروه REE به راحتی جابه‌جا شده‌اند. این شرایط نشان می‌دهد که دگرگونی چندان پیشرفت نکرده است تا بتواند عناصر گروه HFSE را از محیط خارج نماید.

مطالعات Sheikholeslami و همکاران (۲۰۰۸) نیز تأیید کننده پیشرفت دگرگونی تا حد رخساره شیست سبز تا آمفیبولیت زیرین در منطقه نیریز است. همچنین، الگوی عناصر گروه REE بهنجارشده به وسیله سنگ رسوبی میانگین پس از آرکئن استرالیا (PAAS) نشان می‌دهد که عناصر LREE در طی دگرسانی سنگ میزبان نسبت به عناصر HREE بیشتر فقیر شده‌اند (شکل ۱۰).



شکل ۱۰- الگوی پراکندگی عناصر گروه کمیاب خاکی (REE) مرمرهای بهنجار شده با سنگ رسوبی میانگین پس آرکئن استرالیا (PAAS)

گروه REEs (Ce, La, Eu, Sm, Yb) رسم شده‌اند که نشان‌دهنده ارتباطی قوی بین عناصر گروه HFSE در سنگ میزبان هستند (شکل ۹-الف و ۹-ب).



شکل ۹- نمودارهای دوتایی رفتار عناصر جزئی در مقابل عنصر نامتحرك Zr (الف، ب) همبستگی مثبت عناصر گروه HFSE (ج) همبستگی نسبتاً مثبت عناصر گروه کمیاب خاکی (REE)، (د) (و) همبستگی منفی عناصر گروه LILE

عناصر گروه REE‌ها نیز رفتاری مشابه عناصر گروه HFSE از خود نشان می‌دهند (شکل ۹-ج و ۹-د)؛ با این تفاوت که انحراف از مبدأ این عناصر تحرک بیشتری را نسبت به عناصر گروه HFSE در طی دگرسانی نشان می‌دهند. رفتار عناصر LILE در طی دگرسانی کاملاً متفاوت و حاکی از تهی شدگی است (شکل ۹-ه و ۹-و). بنابر عقیده Bierlein و همکاران (۱۹۹۹) سیالات گرمایی عامل دگرسانی در محیط‌های دگرگونی می‌توانند حاصل بخارزدایی و آبزدایی سنگ‌های دگرگونی، منشأ جوی و یا مخلوطی از این دو آب باشند. با پیشرفت دگرگونی، در چنین سیالاتی قدرت جابه‌جایی عناصر بیشتر می‌شود و در درجات پایین

+۶۰۰ درجه سانتی گراد با قابلیت تهیه فیلم و اسلاید انجام گرفت. برای تعیین درصد شوری، چگالی و رسم نمودارها از نرم افزار مدلینگ PVTX Software Modelling for Fluid Inclusion V. 2.6) طراحی شده کمتر در ساختمان کلسیت و دولومیت نسبت به عناصر گروه HREE از محیط خارج شده‌اند.

توسط شرکت Linkam استفاده شده است. از میان مقاطع مورد مطالعه فقط در تعداد ۶ نمونه میانبارهای سیال اولیه هم از نظر اندازه و هم از نظر ریخت‌شناسی و جایگاه در کانی میزبان کوارتز- که فاز اصلی باطله معدنی است به تعداد مناسب حضور داشتند و نتایج حاصل از ریز دماستنجی بر روی تعداد ۳۶ میانبار سیال به دست آمده‌اند. میانبارهای سیال در نمونه‌های مطالعه‌شده بین اندازه‌های ۵ تا ۳۰ میکرومتر مشاهده شده و براساس ریخت‌شناسی قابل تفکیک به چهار نوع بشرح ذیل هستند (شکل ۱۱-الف و ۱۱-د).

- نوع A - دو فازی مایع- گاز (L+V (Liquid rich))
- نوع B - سه فازی گاز- مایع (آب)- مایع ( $\text{CO}_2$ )
- نوع C - تک فازی مایع (L (Liquid))
- نوع D - تک فازی گازی (V (Gas))

مطالعات به علت اندازه و موقعیت میانبارها بیشتر بر روی میانبارهای سیال نوع A و B متتمرکز گردیدند. با توجه به اینکه نقطه یوتکتیک (Te) در تعدادی از نمونه‌های مورد مطالعه پایین‌تر از دمای  $20/8^{\circ}\text{C}$  قرار می‌گیرد (شکل ۱۲-الف)، حضور نمک‌های دیگر علاوه بر NaCl نظیر سیستم‌های چند همنهای  $\text{NaCl-H}_2\text{O}$ - (Hall *et al.*, 1988; Robb, 2005) در سیال کانه‌ساز محتمل است (Shakoor et al., 1988; Robb, 2005). میزان شوری در میانبارهای سیال نوع A بین ۵ تا ۱۴ wt.% NaCl متغیر است (شکل ۱۲-ب). با توجه به دماهای ذوب ابتدایی اندازه‌گیری شده، ترکیب سیالات کانه‌ساز بیشتر از نوع  $\text{H}_2\text{O+NaCl}$  است.

این موضوع نشان می‌دهد که عناصر کمیاب خاکی در ضمن دگرسانی دچار تفریق شده و عناصر گروه LREE با توجه به ناسازگاری بیشتر و ضریب توزیع کمتر در ساختمان کلسیت و دولومیت نسبت به عناصر گروه HREE از محیط خارج شده‌اند.

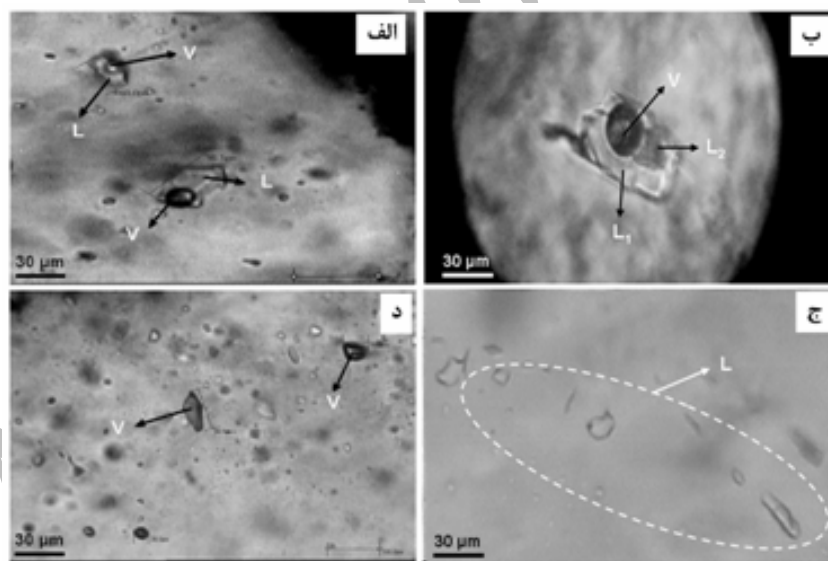
بر اساس نظر Rusinov و همکاران (۲۰۰۸) مرمرهای متأثر شده از سیالات دگرگونی، ماغمای یا اختلاط هر دو، دچار تهیش شدگی از عناصر LREE می‌گردند. از نظر ایشان، جذب‌سطحی توسط کانی‌های محیط و نوع لیگاندهای موجود در سیال، در حمل این عناصر مؤثر هستند. همچنین لیگاندهای کلریدی حمل‌کننده بهتری برای عناصر LREE نیز هستند. از طرف دیگر، تفاوت شعاع بین  $\text{REE}^{+3}$ ,  $\text{Fe}^{+2}$ ,  $\text{Mg}^{+2}$  و  $\text{Ca}^{+2}$  سبب خروج LREE از ساختمان کلسیت و دولومیت می‌گردد (Zhiwei, 2004). ناهنجاری مثبت Eu می‌تواند نشان‌دهنده حضور  $\text{Eu}^{+2}$  و تأثیر سیالات گرمابی احیایی دگرسان‌کننده بر روی سنگ میزبان باشد، در حالی که ناهنجاری منفی Ce می‌تواند نشانه تأثیر شرایط اکسایشی بعدی بر روی سنگ میزبان باشد.

### مطالعات میانبارهای سیال

هدف اصلی از مطالعات میکروسکوپی و ریز دماستنجی میانبارهای سیال، بازسازی ویژگی‌های PTVX تشکیل بلور و کانه‌زایی است. برای این مطالعات از نمونه‌های کانسنگ مگنتیت تعداد ۱۳ مقطع دو بر صیقل (ویفرهای کوارتزی) در دانشگاه تربیت مدرس تهیه و سپس به وسیله میکروسکوپ Nikon مدل Ep200 مطالعه شدند. اندازه‌گیری‌های دما- فشارسنجی MDS600 نیز به وسیله استیج گرم و سردکننده مدل MDS و ساخت شرکت Linkam و مجهز به نرم‌افزار مابین ۱۹۰- تا سیستم مانیتورینگ با تغییرات دمایی مابین

میانبارهای نوع (L+ V) است (Hall *et al.*, 1988). دمای  $11/3$ - سانتی‌گراد برای بیشترین شوری (معادل  $15/43$  wt.% NaCl) و دمای  $3/5$ - سانتی‌گراد برای کمترین شوری (معادل  $5/93$  wt.% NaCl) در میانبارهای سیال اندازه‌گیری شده است. در میانبارهای نوع B دمای ذوبنها ای بین  $54/90^{\circ}\text{C}$  و  $55/30^{\circ}\text{C}$  به دست آمده است (شکل ۱۲-د) که این دما می‌تواند حاکی از حضور مایع  $\text{CO}_2$  در این نوع از میانبارها باشد؛ ضمن این‌که شوری این میانبارها نیز بین  $3/5$  تا  $3/9$  wt.% NaCl اندازه‌گیری شده است (شکل ۱۲-ب). دمای همگنی به دست آمده در این میانبارها در دامنه محدود بین  $396$  تا  $410$  درجه سانتی‌گراد قرار می‌گیرد (شکل ۱۲-ج).

نمودار دمای همگنی در میانبارهای نوع A، گروه‌های دمایی متغیری از  $180$  تا  $435$  درجه سانتی‌گراد با بیشترین فراوانی در محدوده دمایی  $345$ - $285$  درجه سانتی‌گراد را نشان می‌دهد (شکل ۱۲-ج). با توجه به اینکه تصحیح فشار بر روی آنها صورت نگرفته است، دماهای معروفی شده می‌توانند دمای حداقل تشکیل کانی‌ها باشند. دامنه تغییرات دمای ذوب آخرین قطعه بخ (Tm) از دمای  $11/3$ - تا  $3/5$ - درجه سانتی‌گراد مشاهده می‌گردد (شکل ۱۲-د). این نتایج همچنین نشان می‌دهند که در سرمایش بر روی میانبارها با توجه به مشتبه شدن دمای ذوبنها ای هیچ نوع کلاتریتی (Clathrate) تشکیل نشده است. بنابراین، در چنین شرایطی میزان  $\text{CO}_2$  کمتر از  $2/7$  درصد وزنی در



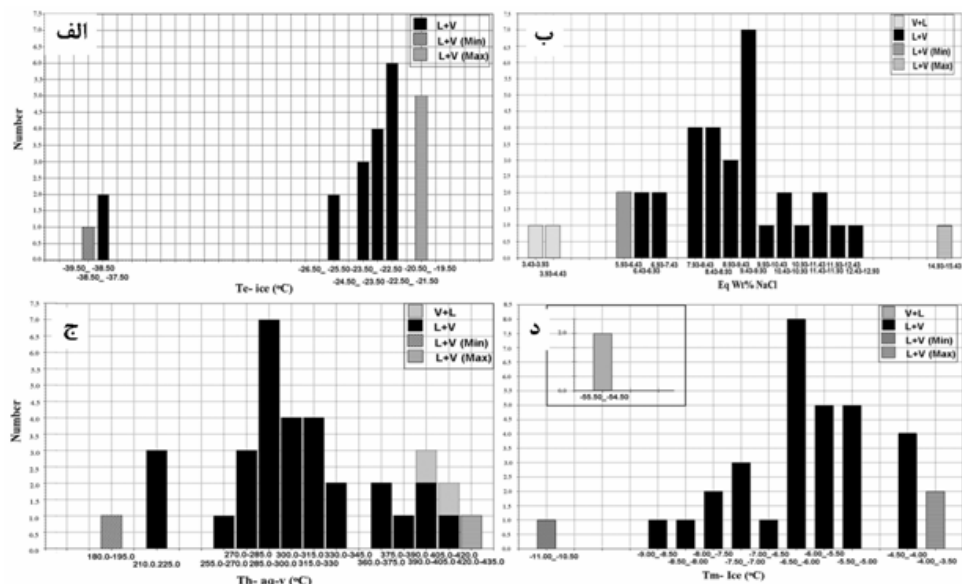
شکل ۱۱- معرفی انواع میانبارهای سیال. الف) تیپ L+V یا (B)، ب) تیپ L1+L2 یا (C)، چ) تیپ L یا (D).

کانه‌زایی سیال کانه‌زا در اعمق بین  $1000$  تا  $2500$  متری (شکل ۱۳) پوسته زمین، نشان‌دهنده تشکیل اندیس‌های آهن منطقه قطروویه در محدوده کانسارهای آهن میان دما (مزوت‌مال) می‌باشند (شکل ۱۴). در چنین شرایطی فرآیندهایی، نظیر: سرد شدگی، حباب

اندازه کوچک میانبارها (کمتر از  $20$  میکرون)، شوری کم تا متوسط سیالات کانه‌زا ( $15 < 15$  wt.% NaCl)، دماهای همگنی بین  $350$  تا  $200$  درجه سانتی‌گراد، حضور میانبارهای دو فازی به شدت غنی از آب، همراهی با پدیده‌های تکتونیکی ناحیه‌ای و عمق

نظیر؛ تغییر pH و کاهش ثابت دیالکتریک، سبب نهشت کانسنگ‌های آهن کم‌عیار قطروویه شده است (شکل ۱۵).

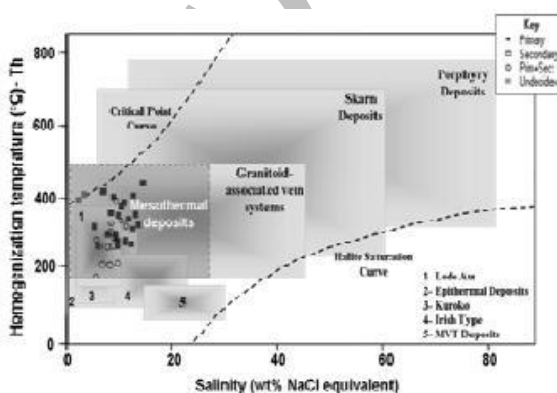
زایی، چگالش، آمیختگی هم دما در نتیجه آمیزش سیالات ماقمایی با دگرگونی و نهایتاً واکنش سیالات با سنگ میزان کربناته و تغییر ترکیب شیمیایی سیال،



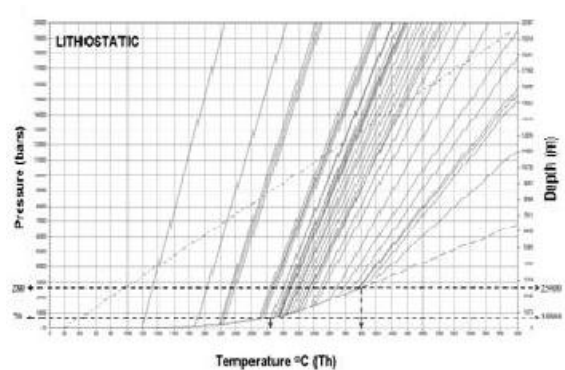
شکل ۱۲- نمودارهای هیستوگرام میانبارهای سیال. (الف) دمای ذوب اولین قطعه یخ یا دمای یوتکنیک، (ب) میزان شوری بر حسب درصد وزنی معادل NaCl، (ج) دمای همگن شدگی یا یکنواختی، (د) دمای ذوب آخرین قطعه یخ.

بنابر نظر Wilkinson (۲۰۰۱) میانبارهایی که با پدیده عدم آمیزش همراه هستند، با دمای‌های بیش از ۳۵ درجه سانتی‌گراد و شوری بیش از ۳۰ wt.% NaCl همراه بوده، نشان‌دهنده سیال ماقمایی به عنوان تنها محلول کانه‌زا هستند.

با توجه به قرارگیری میانبارهای سیال در محدوده ماقمایی تا دگرگونی، پیشنهاد می‌گردد که پدیده آمیزش سیالات مهم‌ترین عامل کانه‌زایی آهن در منطقه قطروویه است.



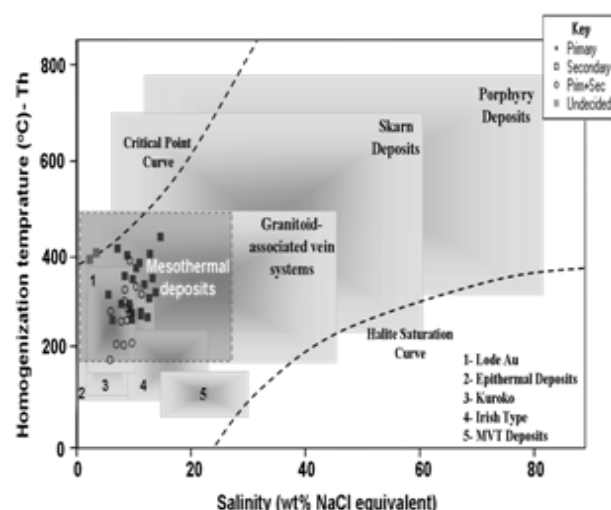
شکل ۱۴- قرارگیری میانبارهای سیال قطروویه در تیپ کانسارهای میان‌دمایی (مزوترمال).



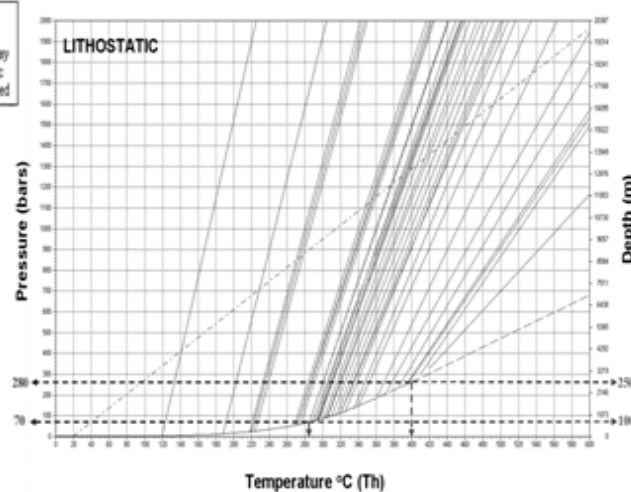
شکل ۱۳- عمق و فشار به‌دامافتادگی میانبارهای سیال در قطروویه.

میانبارها در نوع B منطقه قطروویه دیده می‌شوند. گاز  $\text{CO}_2$  در مذاب‌های ماقمایی نیز فراوان است. با این حال، در میانبارهای کانسینگ‌های آهن گرمایی با عمق متوسط که صرفاً از سیالات ماقمایی تشکیل شده‌اند، گزارش نشده است.

اما در محیط‌های میان دما (مزوترمال) که میانبارها با پدیده آمیزش مواجه شده‌اند دارای درجه حرارت‌های پایین‌تر از ۳۵۰ درجه سانتی‌گراد و شوری تا کمتر از ۵ wt.% NaCl هستند. در این شرایط، میانبارهای غنی از  $\text{CO}_2$  در مناطق کانه‌زایی ایجاد می‌شوند. این نوع از



شکل ۱۵- فرآیندهای مرتبط با نهشت کانسینگ آهن در قطروویه.



+ تیتانیت + تورمالین ± ترمولیت ± پیریت ± کالکوپیریت مشخص می‌گردد.

با پیشروی سیالات گرمایی به سطح کم عمق‌تر پوسته و اختلاط این سیالات با آب‌های جوی، دگرسانی‌های سیلیسی‌شدن، کلریتی‌شدن، سریسیتی‌شدن و اپیدوتی‌شدن همراه با کانه‌زایی هماتیت اتفاق می‌افتد. کاهش قدرت اتحال سیال بر اثر واکنش با سنگ‌های کربناته سبب افزایش  $p\text{CO}_2$  و کاهش فعالیت  $\text{H}_2\text{O}$  می‌شود و به شکسته‌شدن کمپلکس‌های حمل‌کننده فلزات می‌انجامد. این شرایط در سیستم‌های عمقی که نسبت سیال به سنگ بسیار پایین است و لیگاند‌های کلریدی در سیال گرمایی فراوان هستند، سبب تشکیل مگنتیت با دگرسانی

### نتیجه گیری

شواهد بافتی، ساختی، کانی‌شناختی و زمین‌شیمیایی نشان‌دهنده منشأ دیرزاد کانه‌زایی آهن همراه با دو مرحله متفاوت دگرسانی در منطقه قطروویه هستند. در طی دگرسانی مرحله نخست، سنگ میزبان نزدیک به توده معدنی از عنصر گروه LILE، عناصر گروه LRRE و عناصر Mg، Ca، Fe و در مقابل از عناصر گروه واسطه Co، Cr، Ni، Zn و عناصر گروه HFSE غنی شده است. مقدادر قابل توجه و Mn در دولومیت‌ها و کلسیت‌های نزدیک به نوارهای آهن و حضور ریزدانه‌های سیدریت همراه با آنها، ناشی از واکنش این سنگ‌ها با سیالات گرمایی در شرایط احیایی است.

این مرحله از دگرسانی از نوع سدیمی-کلسیمی بوده، با توالی پاراژنزی مگنتیت + پاراگونیت + سیدریت

- Berberian, M. and King, G. C. P. (1981) Towards a paleogeography and tectonic evolution of Iran. Canadian Journal of Earth Science 18(2): 210-265.
- Bierlein, F. P., Waldron, H. M. and Arne, D. C. (1999) Behaviour of rare earth and high strength elements during hydrothermal alteration of metaturbidites associated with mesothermal gold mineralization in central Victoria, Australia. Journal of Geochemical Exploration 67: 109-125.
- Cathelineau, M. (1987) U-Th-REE mobility during albitization and quartz dissolution in granitoids: evidence from south-east French Massif Central. Bulletin of Mineralogy 110: 249-259.
- Chao, E. C. T., Back, J. M., Minkin, J. A., Tatsumoto, M., Junwen W., Conrad, J. E., McKee, E. H., Zonglin, H., Qingrun, M. and Shengguang, H. (1997) The sedimentary carbonate-hosted giant Bayan Obo REE-Fe-Nb ore deposit of Inner Mongolia, China: A cornerstone example for giant polymetallic ore deposits of hydrothermal origin. U.S. Geological Survey Bulletin 214.
- Chao, E. C. T., Back, J. M., Minkin, J. A. and Yingchen, R. (1992) Host-rock controlled epigenetic, hydrothermal metasomatic origin of the Bayan Obo REE-Fe-Nb ore deposit, Inner Mongolia, P. R. C. Applied Geochemistry 7: 443-458.
- Eshraghi, S. A., Roshan Ravan, J. and Sabzehei, M. (1999) Geological map of the Quatrueh area. scale 1:100,000. Geological Survey of Iran.
- Fan, H. R., Groves, D. I., Mikucki, E. J. and Mc Naughton, N. J. (2000) Contrasting fluid types at the Nevoria gold deposit in the Southern Cross greenstone belt, Western Australia, Implications of auriferous fluids depositing ores within and Archean banded iron -formation. Economic Geology 95: 1527-1536.

شاخص سدیمی- کلسیمی می گردد. در سطوح کم عمق تر پوسته نیز افزایش نسبت واکنش پذیری سیال به سنگ سبب کاهش درجه حرارت و افزایش pH می شود که با توجه به افزایش حالت اکسیداسیون محیط و افزایش pH شرایط تشکیل هماتیت در مناطق کم عمق فراهم می گردد. داده های حاصل از مطالعات میانبارهای سیال نشان می دهند که، اندیس های آهن مورد مطالعه از نوع نهشته های آهن گرمابی میان دما (مزوتمال) است. این وضعیت با سایر کانسارهای آهن گرمابی جهان قابل مقایسه است. فرآیندهایی، همچون: سردشدنگی سیالات و افزایش چگالی، حباب زایی، واکنش با سنگ دیواره کربناته و افزایش pH و نهایتاً آمیزش با سیالات دگرگونی، از مهم ترین عوامل نهشت کانسنج های آهن قطره ای به شمار می روند.

### سپاسگزاری

این مطالعه با حمایت مالی معاونت پژوهشی دانشگاه شیراز از طریق اعطای گرفت پژوهشی انجام یافته است که به این وسیله از ایشان تشکر و قدردانی می گردد. همچنین، از مدیریت اداره کل حفاظت محیط زیست فارس که برای انجام عملیات صحرایی و نمونه برداری در منطقه حفاظت شده بهرام گور مساعدت فراوانی نمودند، سپاسگزاری می شود.

### منابع

- Alavi, M. (2007) Structures of the Zagros Fold-Thrust belt in Iran. American Journal of Science 307: 1064-1095.

- Rollinson, H. R. (1993) Using Geochemical Data. Longman Scientific and Technical.
- Rusinov, V. L. Rusinova, O. V. Kryazhev, S. G. Shchegol'Kov, Yu. V. Alysheva, E. I. and Borisovsky, S. E. (2008) Wall-Rock metasomatism of carbonaceous Terrigenous rocks in the Lena Gold district. *Geology of Ore Deposits* 50: 1-40.
- Sarkarinejad, K., Faghih, A. and Grasemann, B. (2008) Transpressional deformations within the Sanandaj-Sirjan metamorphic belt (Zagros Mountains, Iran). *Journal of Structural Geology* 30: 818-826.
- Schneider, H. J., Oezguer, N. and Palacios, C. M. (1988) Relationship between alteration, rare earth element distribution and mineralization of the Murgul copper deposit, northeastern Turkey. *Economic Geology* 83: 1238-1246.
- Sheikholeslami, M. R. (2002) Evolution structurale et métamorphique de la marge sud de la microplaque de l'Iran central: les complexes métamorphiques de la région de Neyriz (Zone de Sanandaj-Sirjan). Ph.D thesis ,Thèse, université de Brest, France.
- Wilkinson, J. J. (2001) Fluid inclusions in hydrothermal ore deposits. *Lithos*, 55: 229-272.
- Williams, P. J., Barton, M., Johnson, D., Fontbote, L., De Haller, A., Mark, G. M. Oliver N. and Marschik, R. (2005) Iron Oxide Copper-Gold Deposits: Geology, Space-Time Distribution and Possible Modes of Origin. *Economic Geology* 100: 371-405.
- Wood, S. A. and Williams-Jones, A. E. (1994) The aqueous geochemistry of the rare-earth elements and yttrium. 4. Monazite solubility and REE mobility in exhalative massive sulfide-depositing environments. *Chemical Geology* 115: 47-60.
- Zhiwei, B. Zhenhua, Z. Jayanta, G. Anthony.
- Guilbert, J. M. and Park C. F. (1997) The geology of ore deposits. WH Freeman and Company, United States of America.
- Hall, D. L., Sterner, S. M. and Bodnar, R. J. (1988) Freezing point depression of NaCl-KCl-H<sub>2</sub>O solutions. *Economic Geology* 93: 197-202.
- Hemley, J. J. and Hunt, J. P. (1992) Hydrothermal ore-forming processes in the light of studies in rock-buffered systems: II Some general geologic applications. *Economic Geology* 87: 23-43.
- Hitzman, M. W. (2000) Iron oxide-Cu-Au deposits, what, where, when and why. In: Porter, T. M. (Eds.): *Hydrothermal Iron oxide copper-gold and related deposits: A Global Perspective*. Australian Mineral Foundation Adelaide 1: 9-25.
- Hitzman, M. W., Oreskes, N. and Einaudi, M. T. (1992) Geological characteristics and tectonic setting of Proterozoic Iron oxide (Cu-U-Au-REE). *Precambrian Research* 58: 241-287.
- Lottermoser B. G. (1992) Rare earth elements and hydrothermal ore formation processes. *Ore Geology Reviews* 7: 25-41.
- Marschall, H., Ludwig, T., Altherr, R., Kalt, A. and Tonarini, S. (2006) Syros metasomatic tourmaline: Evidence for very high- B fluids in subduction zones. *Journal of Petrology* 47: 1915-1942.
- Rachidnejad-Omrani N., Emami, M. H., Sabzehei, M., Rastad, E., Bellon, H. and Piqué, A. (2002) Lithostratigraphie et histoire paléozoïque à paléocène des complexes métamorphiques de la région de Muteh, zone de Sanandaj-Sirjan (Iran méridional). *Comptes rendus Geoscience* 334: 1185-1191.
- Robb, L. (2005) Introduction to ore forming processes. Blackwell publishing. British Library.

southwestern Guizhou Province. China.  
Geochemical Journal 38: 363-381.

E. Jones, W. (2004) HFSE, REE and PGE geochemistry of three sedimentary rock-hosted disseminated gold deposits in

Archive of SID